Titre : SSNL124 - Fluage axial d'un élément HEXA8 avec un [...]
Responsable : Philippe DE BONNIERES

Date : 03/08/2011 Page : 1/9 Clé : V6.02.124 Révision : 6975

SSNL124 - Fluage axial d'un élément HEXA8 avec un comportement de LEMAITRE_IRRA

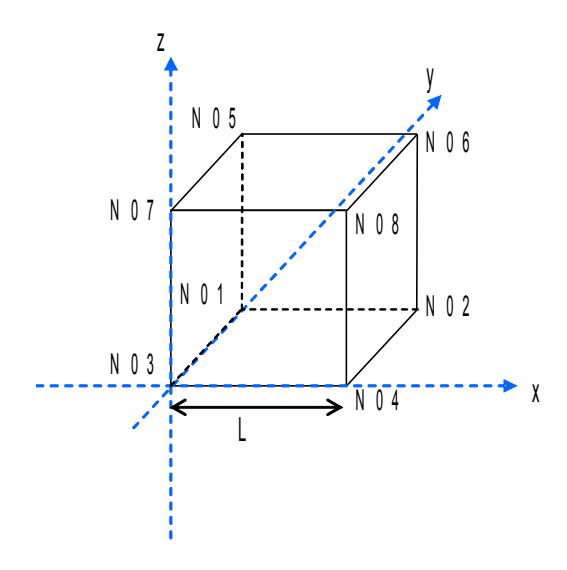
Résumé:

Ce cas-test permet de mettre en œuvre un phénomène de fluage axial sur un cube. Ce test est réalisé en appliquant un champ de fluence sur une modélisation 3D, réalisée avec une maille HEXA8. Les propriétés du cube sont définies par la loi de Lemaitre irradiation.

Date: 03/08/2011 Page: 2/9 Responsable: Philippe DE BONNIERES Clé: V6.02.124 Révision: 6975

Problème de référence

1.1 Géométrie



Géométrie du cube (m): L=1

Coordonnées des points (m):

NO1: (0.0, 1.0, 0.0)

NO2:(1.0, 1.0, 0.0)

NO3:(0.0,0.0,0.0)

NO4:(1.0,0.0,0.0)

NO5:(0.0,1.0,1.0)

NO6:(1.0, 1.0, 1.0)

NO7:(0.0,0.0,1.0)

NO8:(1.0, 0.0, 1.0)

Maille:

MA1: ensemble du cube

Date: 03/08/2011 Page: 3/9 Responsable: Philippe DE BONNIERES Clé: V6.02.124 Révision: 6975

1.2 Propriétés du matériau

•Elastique

• $E = 10^5 Pa$ Module d'Young

• v = 0.3Coefficient de poisson

• $\alpha = 0$. /°C Coefficient de dilatation

Lemaitre

$$\frac{1}{K} = 10^{-6}$$

$$\cdot \frac{1}{m} = 0.207060772$$

• n = 2.3364

• L = 0.

• $\phi_0 = 4.240281 \times 10^{21}$

• $\beta = 1.2$

• QSR K = 3321.093

• $a = -1.51 \times 10^{-16}$

• $b = 1.542 \times 10^{-13}$

• S = 0.396

1.3 Conditions aux limites et chargements

•Déplacement imposé (m) :

• N01: DX = DZ = 0

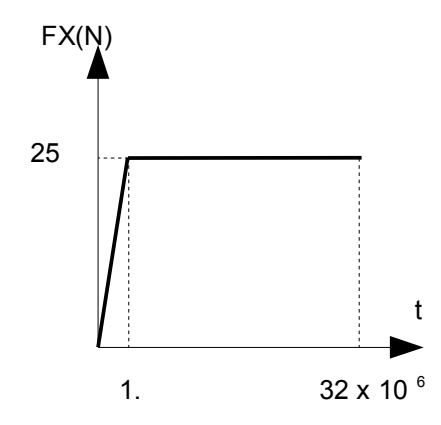
• N03: DX = DY = DZ = 0

• N05: DX = 0

• N07: DX = 0

Chargement

Le chargement, est imposé sur les nœuds N02, N04, N06, N08, varie progressivement sur l'intervalle $t \in [0,1]$ et reste constant sur l'intervalle $t \in [1,32,10^6]$ comme sur la figure ci-dessous.



Date: 03/08/2011 Page: 4/9 Responsable : Philippe DE BONNIERES Clé: V6.02.124 Révision: 6975

•Fluence imposée sur les nœuds.

Instant	Fluence	
(s)	$(n.m^{-2})$	
0.0	0.	
1.0	7.20000×10^{21}	
8.64990×10^2	6.22793×10^{24}	
1.72898×10^3	1.24487×10^{25}	
2.16097×10^3	1.24487×10^{25}	
2.59297×10^3	1.86694×10^{25}	
3.45696×10^3	2.48901×10^{25}	

[•]Température imposée sur les nœuds.

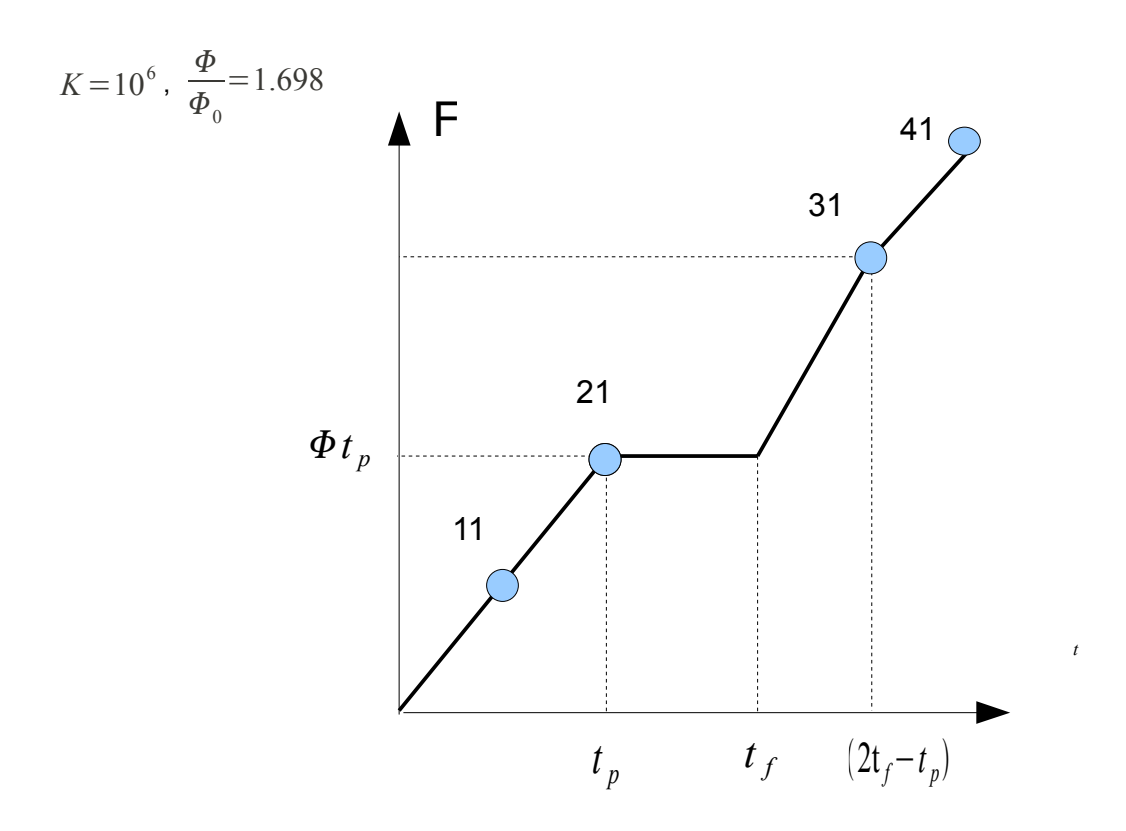
 $T\!=\!299.85\,^{\circ}C$ avec une température de référence de $T_{\mathit{ref}}\!=\!299.85\,^{\circ}C$

Responsable: Philippe DE BONNIERES

Date: 03/08/2011 Page: 5/9 Clé: V6.02.124 Révision: 6975

Solution de référence 2

2.1 Méthode de calcul utilisée pour la solution de référence



$$\begin{split} F = & \Phi_1 t & \Phi_1 = 7.2 \times 10^{21} \text{ si } t \in [0, t_p = 1728.98] = I_1 & \Rightarrow \Phi = \Phi_1 \\ F = & \Phi_1 t_p & \Phi_1 = 7.2 \times 10^{21} \text{ si } t \in [t_p, t_f = 2160.975] = I_2 \Rightarrow \Phi = 0 \\ F = & \Phi_1 t_p + 2 \Phi_1 (t - t_f) & \Phi_1 = 7.2 \times 10^{21} \text{ si } t \in [t_f, 2 t_f - t_p] = I_3 & \Rightarrow \Phi = 2 \Phi_1 \\ F = & \Phi_1 t & \Phi_1 = 7.2 \times 10^{21} \text{ si } t > (2 t_f - t_p) = I_4 & \Rightarrow \Phi = \Phi_1 \end{split}$$

$$p = \left[\frac{n+m}{m}\sigma^{n}\left(\frac{1}{K}\frac{\Phi}{\Phi_{0}} + L\right)^{\beta}te^{-\frac{Q}{R(T+T_{0})}}\right]^{\frac{m}{n+m}}\text{si }t \in I_{1}$$

$$p = \left[\frac{n+m}{m}\sigma^{n}\left(\frac{1}{K}\frac{\Phi}{\Phi_{0}} + L\right)^{\beta}t_{p}e^{-\frac{Q}{R(T+T_{0})}}\right]^{\frac{m}{n+m}} = p_{f}\text{si }t \in I_{2}$$

Responsable : Philippe DE BONNIERES

Date: 03/08/2011 Page: 6/9 Clé: V6.02.124 Révision: 6975

$$p = p_f \mathbf{a} \ t = t_f \boxed{L=0}$$

$$\dot{p} = \left[\frac{\sigma}{p^{\frac{1}{m}}}\right]^{n} \left(\frac{1}{K} \frac{2\Phi}{\Phi_{0}} + L\right)^{\beta} e^{\frac{-Q}{R(T+T_{0})}}$$

$$\dot{p} p^{\frac{n}{m}} = \sigma^{n} \left(\frac{1}{K} \frac{2\Phi}{\Phi_{0}} + L \right)^{\beta} e^{\frac{-Q}{R(T+T_{0})}}$$

$$\dot{p}^{\frac{m+n}{m}} = \frac{m+n}{m} \sigma^n \left(\frac{1}{K} \frac{2\Phi}{\Phi_0} + L \right)^{\beta} e^{\frac{-Q}{R(T+T_0)}}$$

$$p\!=\!\!\left[\frac{m\!+\!n}{m}\sigma^{n}\!\!\left(\frac{1}{K}\frac{2\,\varPhi}{\varPhi_{0}}\!+\!L\right)^{\!\beta}\!e^{\frac{-Q}{R(T\!+\!T_{0})}}((t\!-\!t_{f})2\,\beta\!+\!t_{p})\right]^{\!\frac{m}{m+n}}\text{ si }t\!\in\!I_{3}$$

$$p\!=\!\!\left[\frac{m\!+\!n}{m}\sigma^{n}\!\left(\frac{1}{K}\frac{2\,\Phi}{\Phi_{0}}\!+\!L\right)^{\beta}e^{\frac{-Q}{R(T+T_{0})}}(t\!+\!(t_{f}\!-\!t_{p}(2\,\beta\!-\!2)))\right]^{\frac{m}{m+n}}\text{ si }t\!\in\!I_{4}$$

Application numérique

$$\frac{1}{K} = 10^{-6}$$
; $\frac{\Phi}{\Phi_0} = 1.698$; $\sigma = 100$; $\beta = 1.2$

$$\dot{a} t = 3456.96$$

$$p = (0.09067259953)^{\left(\frac{m}{(n+m)}\right)} = 0.198332841$$

$$\varepsilon = 0.200569905$$

$$\dot{a} t = 2592.97$$

$$p = (0.06882302104)^{\left(\frac{m}{(n+m)}\right)} = 0.164696317$$

$$\varepsilon = 0.166804179$$

2.2 Grandeurs de référence

- •Déplacement DX au nœud N02
- •Contrainte SIXX dans la maille MA1
- •Déformation plastique cumulée VI dans la maille MAI

Date: 03/08/2011 Page: 7/9 Responsable : Philippe DE BONNIERES Clé: V6.02.124 Révision: 6975

2.3 Résultat de référence

Grandeur	Nœud ou Maille instant		Référence	
V1	MA1	2.59297×10^3	0.164696	
DX(m)	N02	2.59297×10^3	0.166804	
VI	MA1	3.45696×10^3	0.119833	
DX(m)	N02	3.45696×10^3	0.20057	
SIYY (Pa)	MA1	3.45696×10^3	100	

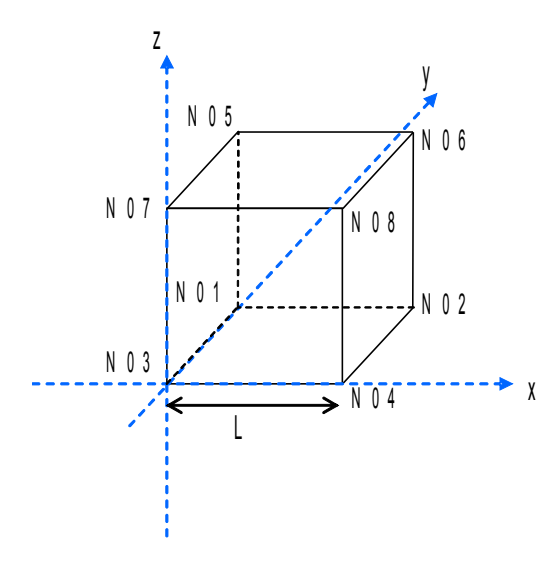
Incertitude sur la solution 2.4

Solution analytique

Date: 03/08/2011 Page: 8/9 Responsable : Philippe DE BONNIERES Clé: V6.02.124 Révision: 6975

Modélisation A 3

3.1 Caractéristiques de la modélisation A



Modélisation 3D. Relation de comportement de LEMAITRE IRRA:

> Nombre de nœuds 8 Nombre de mailles 1

> > Soit: HEXA8 1

3.2 Grandeurs testées et résultats

Grandeur	Nœud ou Maille	instant	Référence	Aster	Écart (%)
V1	MA1	2.59297×10^3	0.164696	0.164464	-0.141
DX(m)	N02	2.59297×10^3	0.166804	0.166572	-0.139
VI	MA1	3.45696×10^3	0.198330	0.198116	-0.108
DX(m)	N02	3.45696×10^3	0.20057	0.20035	-0.106
SIYY (Pa)	MA1	3.45696×10^3	100	100	-7.5E-5

Responsable : Philippe DE BONNIERES

Date : 03/08/2011 Page : 9/9 Clé : V6.02.124 Révision : 6975

4 Synthèse des résultats

La comparaison entre les résultats obtenus et la solution analytique est très satisfaisante.